

چکیده

با مطرح شدن طرح ذخیره‌سازی گاز در کشور، ساخت مخازن ذخیره گاز طبیعی مایع، در اولویت قرار گرفته است. امنیت لرزه‌خیزی این سازه‌ها نیز با توجه به خطرهای جبران‌ناپذیری که ممکن است در پی داشته باشد، باید به طور جدی مراقبت قرار گیرد. وجود کف بتی قوی، امکان استفاده از سیستم‌های جداساز لرزه‌ای را به عنوان یکی از راهکارهای مؤثر در کاهش پاسخ لرزه‌ای این مخازن فراهم می‌کند. در این مطالعه، میزان اثربخشی جداسازها در بهبود رفتار دینامیکی مخازن ذخیره مایع در هنگام اعمال بارهای لرزه‌ای بررسی شده است. در این راستا، از شبیه‌سازی رایانه‌ای برای پیش‌بینی رفتار دینامیکی سیال و سازه مخزن استفاده شده است. ابتدا مدل عددی پیشنهادی با استفاده از نتایج آزمایشگاهی راستی آزمایی شده و پس از اطمینان از صحت عملکرد مدل عددی، از آن برای انجام مطالعات پارامتری بر روی مخازن واقعی گاز مایع استفاده شده است. پاسخ دینامیکی مخازن ذخیره گاز مایع در هنگام اعمال بارهای دینامیکی مختلف بررسی شده و میزان اثربخشی مثبت جداسازهای لرزه‌ای مورد بحث قرار گرفته است. نتایج مطالعات پارامتری بیان کننده‌ی کاهش قابل توجه پاسخ لرزه‌ای مخازن گاز مایع مجهر به جداسازها است؛ اما در عین حال، ارتفاع امواج سطحی، در دامنه‌ی معمول مخازن کاهش قابل ملاحظه‌ای در اثر جداسازها ندارد.

کلمات کلیدی: جداسازهای لرزه‌ای، مخازن ذخیره گاز مایع، تحلیل دینامیکی مخازن، مطالعات عددی

دادداشت تحقیقی

استفاده از جداسازها در کاهش پاسخ لرزه‌ای مخازن ذخیره گاز مایع

محمدعلی گودرزی (نویسنده مسؤول)

استادیار، پژوهشکده مهندسی سازه، پژوهشگاه بین‌المللی زلزله‌شناسی و مهندسی زلزله

E-mail: m.a.goodarzi@iiees.ac.ir

پرویز رفعتی

عضو هیأت علمی دانشگاه جامع امام حسین (ع)

سهیل رستم کلایی

فارغ‌التحصیل کارشناسی ارشد مهندسی زلزله، پژوهشگاه بین‌المللی زلزله‌شناسی و مهندسی زلزله

۱- مقدمه

در حالت کلی دو نوع سیستم جداساز لرزه‌ای برای سازه‌های معمول به کار گرفته می‌شود:

نوع اول جداسازهای الاستومری که متشکل از لایه‌های به هم جوش شده فولاد و الاستومرهای پلیمری‌اند. این مجموعه دارای خاصیت انعطاف‌پذیری زیاد در راستای افقی و خاصیت صلیبت زیاد در راستای قائم است. در صورتی که در این نوع جداسازها از هسته سربی نیز استفاده شده باشد، به آن جداساز از نوع باربر سربی - لاستیکی اطلاق می‌شود.

نوع دوم، نوسانگرهای اصطکاکی‌اند که از یک صفحه مقعر فلزی در بالا و یک گوی فلزی محدب در پایین تشکیل شده‌اند. ضریب اصطکاک بین صفحه و گوی محدب طوری در نظر گرفته می‌شود که در مقابل بار جانبی مشخصی، امکان حرکت

جداسازی لرزه‌ای در واقع به کار گیری یک سیستم انعطاف‌پذیر در زیر سازه‌های است که کف سازه را از زمین جدا و با جذب انرژی زلزله، از تأثیر مستقیم حرکات زمین به سازه جلوگیری می‌کند. این سیستم‌ها در جهت افقی شکل‌بندیری زیاد و در جهت قائم سختی زیادی دارند. به این ترتیب، در هنگام حرکات افقی زمین، جداسازهای لرزه‌ای با قبول تغییر مکان‌های زیاد افقی با جذب انرژی ناشی از زلزله، از سازه محافظت می‌کنند. اگر جداساز و سازه مورد نظر به صورت یک مجموعه واحد در نظر گرفته شود، در واقع به کار گیری جداسازهای لرزه‌ای باعث افزایش پریود طیعی این مجموعه می‌شود. بدین وسیله پریود طیعی سازه، به مقدار مناسبی از پریود غالب بار لرزه‌ای اعمال شده، دور می‌شود و در نتیجه، بارهای لرزه‌ای اعمال شده به سازه کاهش می‌یابد.

شده است. اگرچه به کارگیری این سیستم‌ها در کشور ما و کشورهای در حال توسعه مانند ترکیه و کره جنوبی محدودتر است، اما روند استفاده از آن در محافظت لرزه‌ای سازه‌ها در این کشورها نیز در حال رشد است.

در خصوص استفاده از فن جداسازی برای کاهش آثار لرزه‌ای بر روی ساختمان‌ها، تحقیقات متعددی انجام شده است؛ اما تحقیقات انجام شده در رابطه با مخازن ذخیره مایع مجهرز به سیستم‌های جداساز لرزه‌ای محدود و لزوم مطالعات جامع‌تر در این حوزه کاملاً مشهود است. در ادامه به برخی از مهم‌ترین این تحقیقات اشاره شده است.

در تحقیقی در سال 1988 [1] مخازن ذخیره مایع تحت بارهای لرزه‌ای بررسی تحلیلی و آزمایشگاهی شد. در این تحقیق، برای بررسی‌های آزمایشگاهی از دو مخزن فلزی پر شده با آب استفاده شد. یکی از این مخازن بر روی یک ساختمان 9 طبقه‌ی مجهرز با جداسازهای لرزه‌ای و مخزن دیگر بر روی میز لرزه قرار داده شد. با بررسی اختلاف نتایج حاصل برای فشار وارد بر روی دیواره از طرف آب و میزان ارتفاع امواج ایجاد شده در دو مخزن، نقش جداسازها در کاهش پاسخ کلی مخازن تبیین شد. در این رابطه، مشخص شد که جداسازها به شدت در کاهش نیروهای وارد بر جداره‌ی مخازن مؤثرند.

کیم و لی در سال 1995 [2] نیز به بررسی آزمایشگاهی رفتار مخازن مجهرز به جداسازهای الاستومری و اصطکاکی پرداختند. هدف اصلی آنها پیشنهاد روشی برای انجام آزمایش‌های استاندارد مخازن ذخیره مایع بود. در این آزمایش‌ها، پاسخ دینامیکی مخازن مجهرز به جداسازها، با استفاده از آزمایش‌های شبیه استاتیکی تخمین زده شد.

در چند تحقیق جداگانه در سال 2004 [3] نیز مخازن گاز مایع تحلیل شد. در این تحلیل ابتدا از مدل‌های جرم- فر برای ساده‌سازی رفتار سیال استفاده و سپس سیستم مخزن و جداساز لرزه‌ای به صورت یک مجموعه چند درجه آزادی تحت بار دلخواه دینامیکی فرض شد. با حل معادلات مربوط به این

نسبی گوی و صفحه در راستای افقی فراهم شود. به این ترتیب مقداری از انرژی بارهای دینامیکی با اصطکاک ایجاد شده بین صفحات فلزی مذکور مستهلك می‌شود.

ساخت مخازن ذخیره‌ی گاز طبیعی پیچیده و مستلزم استفاده از مصالح خاصی است. مخازن جدید مورد استفاده برای ذخیره‌ی گاز مایع دو جداره‌اند. گاز طبیعی مایع در دمای خیلی کم (بیش از 150-) و تحت فشار خیلی زیاد قابل ذخیره است؛ بنابراین مخازن ذخیره گاز مایع یک جداره‌ی فولادی داخلی دارد که گاز مایع به طور مستقیم در آن ذخیره می‌شود. جداره‌ی خارجی مخزن که به فاصله‌ی یک متر از جداره‌ی داخلی ساخته می‌شود، از جنس بتن مسلح پس کشیده است و فاصله بین دو جداره نیز با عایق حرارتی پر می‌شود تا از تبادل حرارتی گاز مایع با محیط بیرون جلوگیری کند. این نوع مخازن، بر روی یک دال بتی ضخیم قرار می‌گیرند که در صورت ضعیف بودن خاک محل، از شمع برای استقرار در زیر دال مخزن استفاده می‌شود. ماکت یکی از این نوع مخازن در شکل (1) نشان داده شده است.



شکل (1): نمای کلی مخازن ذخیره‌ی گاز طبیعی اجرا شده در یونان (Revithoussa LNG Terminal) و محافظت شده با جداسازهای لرزه‌ای

2- موردی بر مطالعات پیشین بر روی مخازن ذخیره‌ی مجهرز به جداسازهای لرزه‌ای

استفاده از سیستم‌های جداساز لرزه‌ای برای ساختمان‌ها و سازه‌های مهندسی عمران معمول‌تر است و در چند دهه‌ی اخیر در بسیاری از کشورها این روش برای ساختمان‌ها به کار گرفته

مخازن ذخیره مورد استفاده در عمل، علاوه بر ارائه مدل عددی مناسب برای انجام تحقیقات گوناگون، حوزه عملکرد جداساز در مخازن با ابعاد معمول به صورت پارامتری بررسی شده است.

3- معرفی مدل اجزای محدود مورد استفاده در تحلیل عددی

بررسی عملکرد لرزه‌ای مخازن ذخیره مایع مجهز به جداسازهای لرزه‌ای در محدوده ابعاد واقعی یکی از مهم‌ترین اهداف تحقیق حاضر است. در این راستا، از مدل عددی استفاده شده است. به این ترتیب، ابتدا راهبرد شیوه‌سازی رایانه‌ای مورد استفاده معرفی و سپس مدل عددی مذکور در مقایسه با تابع حاصل از اندازه‌گیری‌های آزمایشگاهی کالیبره شده است. در نهایت، با استفاده از مدل عددی راستی آزمایی شده و انتخاب نمونه‌هایی از مخازن با ابعاد هندسی معمول و انجام مطالعات پارامتری، آثار ناشی از به کار گیری جداسازهای لرزه‌ای در کاهش و یا افزایش پاسخ دینامیکی مخازن ذخیره مایع بررسی شده است.

در مدل عددی مورد استفاده، از روش اجزای محدود برای شبیه‌سازی جداره و مایع درون مخزن استفاده شده است. همچنین رفتار الاستوپلاستیک جداره مخزن، مدل نظر قرار نگرفته و فرض شده که رفتار جداره مخزن به صورت الاستیک باقی می‌ماند؛ لذا در مدل عددی از اجزای چهار گرهی پوسته‌ای، که قابلیت مدل‌سازی رفتار غشایی و خمشی جداره مخزن را داشته باشند، استفاده شده است. محیط سیال با استفاده از روش لاگرانژی بر مبنای تغییر مکان‌های نقاط ذرات، پارامترهای محیط مایع را محاسبه می‌کند. بدین منظور، عضو سه‌بعدی مکعبی با 8 گره و 24 درجه آزادی، برای مدل‌سازی محیط مایع به کار گرفته شده است. برهم کنش مایع و سازه نیز با انتباط حرکت نقاط مشترک مایع و سازه در مرز تماس مخزن با مایع در مدل عددی اعمال شده است؛ به عبارت دیگر، فشار وارد بر مخزن از طرف مایع در جهت عمود بر دیوار مخزن اعمال شده است. برهمکنش خاک و مخزن در نظر گرفته نشده و بی، صلب

سیستم، پاسخ تقریبی مخازن ذخیره مایع به صورت روابط نظری قابل محاسبه است. رفتار غیرخطی جداسازها در هنگام اعمال بارهای لرزه‌ای باعث شد تا آنها از روش نیومارک برای پیش‌بینی زمانی پاسخ لرزه‌ای مخازن استفاده نمایند. همچنین آنها آثار برهم کنش مربوط به در نظر گرفتن هم‌زمان مؤلفه‌های افقی زلزله را نیز بر روی پاسخ دینامیکی مخازن لحاظ کردند. با ایجاد مدل مذکور، مطالعات پارامتری بر روی مخازن انجام و اثر عواملی نظری میرایی، ابعاد مخزن و مشخصات مصالح مورد استفاده در پلیمرها مورد بررسی قرار گرفت.

در سال 2006 جاده‌او و جانگید [4] آثار ناشی از وجود پالس‌های نزدیک به گسل بر روی پاسخ مخازن ذخیره مایع با استفاده از مدل جرم و فر اشاره شده را بررسی کردند. در این تحقیق از جداسازهای اصطکاکی نیز در زیر مخزن استفاده و نتیجه گیری شد که پاسخ لرزه‌ای مخازن ذخیره مایع به نگاشتها، که شامل پالس‌های بلند باشد، را می‌توان با به کار گیری جداسازها کنترل کرد. تحقیقات متعدد دیگری نیز در زمینه مخازن مجهز به جداسازهای لرزه‌ای انجام گرفته است

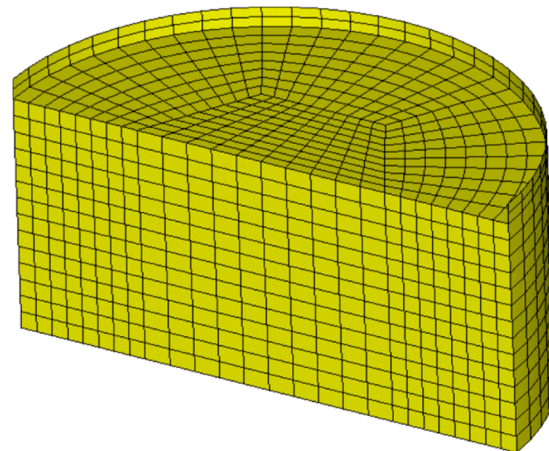
که در این مقاله به آنها اشاره نشده است.

در تمامی این مطالعات بر نقش بلامنازع وجود جداسازهای الاستومری در کاهش پاسخ لرزه‌ای مخازن ذخیره مایع تأکید شده است. غالب تحقیقات مورد اشاره با به کار گیری روش‌های آزمایشگاهی و نظری به تحلیل دینامیکی مخازن مجهز به جداسازها پرداخته‌اند؛ اما تبیین وجوه مختلف رفتار دینامیکی مخازن جداسازی شده مستلزم انجام تحقیقات بسیاری در زمینه‌های مختلف است که با انجام آزمایش‌های هزینه‌بر برای انجام این تحقیقات، متناسب نیست. استفاده از روش‌های عددی به دلیل صرف هزینه اندک و قابلیت مدل‌سازی جزئیات مسئله، می‌تواند به عنوان یکی از بهترین گزینه‌ها برای تحلیل دینامیکی مخازن مجهز به جداسازهای لرزه‌ای، مورد استفاده قرار گیرد؛ به ویژه اینکه مطالعات پارامتری بر روی مخازن واقعی جزء استفاده از شبیه‌سازی‌های رایانه‌ای امکان‌پذیر نیست. در این تحقیق، با شبیه‌سازی رایانه‌ای پدیده مذکور در ابعاد واقعی

این مخزن با یک متر طول، یک متر ارتفاع و $0/3$ متر عرض (شکل ۳) بر روی میز لرزه پژوهشگاه قرار داده شده و با استفاده از تجهیزات آزمایشگاهی، ارتفاع آزاد مایع و تغییرات آن تحت بارهای هارمونیک و لرزه‌ای اندازه‌گیری شد. بار هارمونیک به شکل اعمال تغییر مکان سینوسی با دامنه افقی برابر با $0/005$ متر در نظر گرفته شده است. ارتفاع آزاد مایع در مخزن برابر با $0/624$ متر است که برابر با نسبت هندسی ارتفاع به شعاع برابر با یک‌سوم، در نظر گرفته شده است. این مخزن آزمایشگاهی به وسیله بارهای سینوسی با سه فرکانس مختلف تحت لرزش افقی قرار گرفته است.

این فرکانس‌ها به ترتیب برابر با فرکانس طبیعی مخزن آزمایشگاهی، بیشتر و کمتر از آن است. همین مخازن به وسیله مدل عددی معروفی شده در بخش قبل نیز در محیط رایانه شبیه‌سازی و تحت شرایط هندسی و بارهای هارمونیک مشابه تحلیل دینامیکی شده‌اند. نتایج حاصل از حل عددی و نتایج اندازه‌گیری در آزمایشگاه، برای مقادیر آزاد سطح مایع در کنار دیواره مخزن، برای هر سه مقدار فرکانس یاد شده در شکل (۴) مقایسه شده‌اند. شکل مذکور نشان‌دهنده آن است که نتایج آزمایشگاهی و نتایج عددی به طرز مناسبی بر هم منطبق است که حاکی از صحت عملکرد راهبرد عددی به کار رفته است.

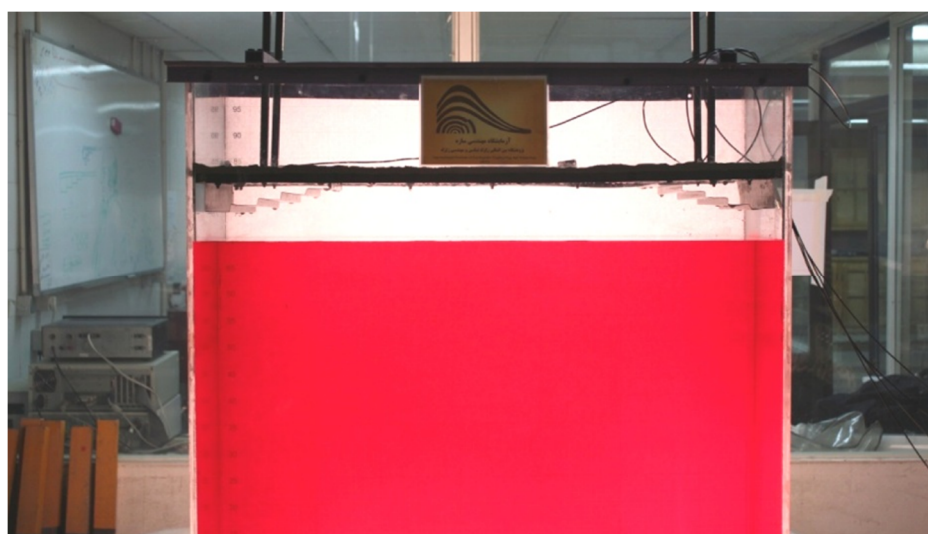
فرض شده است؛ بنابراین مایع در محل کف مخزن فقط در جهت افقی امکان حرکت دارد و از حرکت آن در جهت قائم جلوگیری شده است. نمونه‌ای از شبکه‌بندی اجزای محدود مورد استفاده برای مخازن مورد بررسی که بر اساس شرایط مرزی اشاره شده ساخته شده، در شکل (۲) نشان داده شده است.



شکل (۲): شبکه‌بندی مدل اجزای محدود مورد استفاده برای مخازن مجهز به جداساز لرزه‌ای

۴- راستی آزمایی نتایج مدل عددی

به منظور اطمینان از صحت عملکرد مدل عددی و راهبرد شبیه‌سازی رایانه‌ای پیشنهاد شده در بخش قبل، از نتایج آزمایشگاهی یک مخزن دو بعدی، در آزمایشگاه سازه پژوهشگاه بین‌المللی زلزله‌شناسی و مهندسی زلزله، استفاده شده است.



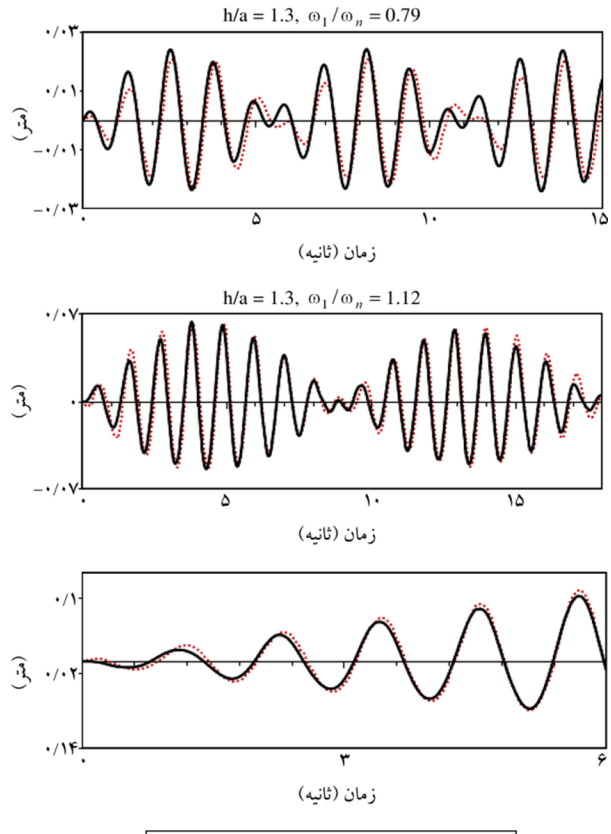
شکل (۳): مخزن آزمایشگاهی مورد استفاده برای راستی آزمایی عملکرد مدل عددی

بر روی رفتار لرزه‌ای مخازن ذخیره مایع از مدل اجزای محدود معرفی شده در قسمت قبل استفاده شده است. سه مخزن پهن ($H/R = 0.3$), متوسط ($H/R = 1$) و لاگر ($H/R = 2.6$) به عنوان نمونه‌های مورد بررسی انتخاب شده‌اند. هر سه مخزن بر اساس آین نامه‌ی API طراحی شده و از مخازن واقعی‌اند. مشخصات هندسی این مخازن در جدول (1) ارائه شده است.

5-2- نحوه طراحی و محاسبه سیستم جداساز استفاده شده در مدل عددی

سیستم جداساز اعمال شده در مدل اجزای محدود مورد استفاده، در واقع یک سیستم غیرخطی درجه اول است که بیان‌کننده‌ی رفتار سیستم‌های جداساز الاستومری است. یک چرخه غیرخطی معرف پارامترهای مؤثر در رفتار جداساز مورد استفاده، در شکل (5) نشان داده شده است.

معمولًاً پریود طبیعی غیرخطی سیستم بین $1/5$ تا 3 ثانیه در نظر گرفته می‌شود. در این مطالعه مقدار میانگینی برابر با $2/5$ ثانیه



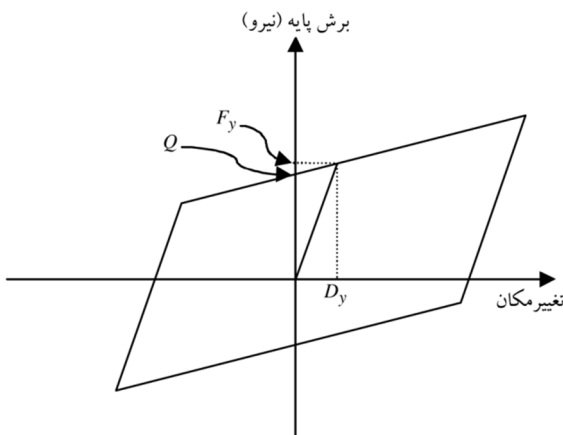
شکل (4): مقایسه نتایج حاصل از اندازه‌گیری آزمایشگاهی و نتایج حاصل از شبیه‌سازی عددی تحت بارهای هارمونیک

5- تحلیل‌های عددی انجام شده بر روی مخازن با ابعاد واقعی

پس از راستی آزمایی مدل عددی با استفاده از نتایج آزمایشگاهی، در این بخش به استفاده از مدل عددی برای انجام مطالعات پارامتری پرداخته شده است.

5-1- ابعاد مخازن واقعی انتخاب شده برای انجام مطالعات پارامتری

به منظور برآورد عملکرد دینامیکی سیستم جداساز لرزه‌ای



شکل (5): چرخه مستهلك شدن انرژی به وسیله‌ی به کار گیری جداساز لرزه‌ای مورد استفاده

جدول (1): مشخصات مخازن مورد بررسی در تحلیل‌های اجزای محدود

مدول ارتعاشی سیال (نیوتون بر متر مربع)	نوع سیال	جرم حجمی سیال (کیلوگرم بر متر مربع)	ضخامت بالای جداره مخزن (متر)	ضخامت پایین جداره مخزن (متر)	ارتفاع مایع (متر)	ارتفاع جداره مخزن (متر)	شعاع مخزن (متر)	
1/65E+09	نفت	885	0/03	0/03	15/85	17/5	54/5	1 مخزن
2/00E+09	گاز مایع	480	0/033	0/033	37/4	40/6	37	2 مخزن
2/10E+09	آب	1000	0/006	0/006	6/5	8	5/2	3 مخزن



مشابه چرخه معادلی نظیر چرخه نشان داده شده در شکل (5) ایجاد می‌کند.

5-3- بارهای لرزه‌ای اعمال شده به مخازن

مدل عددی هر یک از مخازن مورد بررسی، تحت پنج نگاشت مختلف زلزله قرار داده شده است. پریود مدهای طبیعی ارتعاش مایع موجود در مخازن، به مقدار قابل توجهی بیشتر از سازه‌های معمول مهندسی است (پریود مد اصلی ارتعاش مایع در مخازن ذخیره معمولاً بین 2 تا 10 ثانیه بوده و بعضاً تا 15 ثانیه نیز می‌رسد)؛ اما پریود مد ارتعاش جرم سخت مایع (مدهای اندرکنشی)، بر خلاف جرم مواج، در حد سایر سازه‌های مهندسی است (کمتر از 1 ثانیه). از طرفی تحریک مدهای ارتعاشی با پریود زیاد، نیاز به نگاشتهایی دارد که در آنها پالس‌های با حرکت طولانی زمین رخ داده باشد. به عبارت دیگر، مدهای اصلی ارتعاش مایع، که مسبب ایجاد امواج سطحی است، بیشتر متأثر از جابه‌جایی زمین اند تا شتاب زمین. این خصوصیت باعث می‌شود که تحریک جرم مواج، بیشتر به پریودهای حرکتی زمین وابسته باشد تا مقدار سایر پارامترهایی نظیر بیشینه شتاب زمین. با این توضیحات، نگاشتهای مورد استفاده در تحلیل‌های وابسته به زمان، طوری انتخاب شده‌اند که دارای پریود غالب بیشتری (برای تحریک مدهای نوسانی مایع) نیز باشد. مشخصات زلزله‌های ورودی در جدول (3) و نمودارهای تاریخچه زمانی شتاب مربوط به این نگاشتهای (6) نشان داده شده است. این زلزله‌ها به عنوان بار لرزه‌ای افقی وارد شده به نمونه‌های مورد بررسی، در نظر گرفته شده‌اند. شتاب بیشینه این زلزله‌ها از 2/8 تا 8/2 متر بر مجدور ثانیه متفاوت است.

به عنوان پریود طبیعی سیستم جداساز مورد استفاده لحاظ شده است؛ بنابراین، $T_{iso} = 2.5 \text{ sec}$ در نظر گرفته شده است.

مقدار مقاومت مشخصه سیال با توجه به مشارکت عملدهی جرم نوسانی در پاسخ مخزن تعیین می‌شود و جرم مواج با توجه به پریود زیاد آن تأثیر چندانی ندارد. تعیین مقدار سختی متناظر با جداساز را می‌توان از رابطه (1) محاسبه نمود:

$$K_p = M_{imp} (2\pi/T_{iso})^2 \quad (1)$$

در این رابطه، $E_p =$ سختی متناظر با سیستم جداساز، $T_{iso} =$ پریود جداساز مورد استفاده و $M_{imp} =$ جرم نوسانی سیال است؛ بنابراین مقدار سختی الاستیک سیستم مورد استفاده (شکل 5) را می‌توان از رابطه (2) محاسبه نمود:

$$K_e = (D_y \cdot K_p + Q)/T_{iso}^2 \quad (2)$$

در این رابطه، $D_y =$ مقدار جابه‌جایی متناظر با جاری شدن سیستم جداساز لرزه‌ای $K_e =$ سختی بخش الاستیک جداساز و $Q =$ مقاومت مشخصه سیال است؛ بنابراین، مقدار نیروی جاری شدن کلی سیستم جداساز را نیز می‌توان از رابطه (3) به دست آورد:

$$F_y = K_e \cdot D_y \quad (3)$$

در این رابطه، $F_y =$ نیروی جاری شدن کلی سیستم جداساز است. با استفاده از مقادیر ذکر شده و استفاده از روابط مذکور، مقدار پارامترهای طراحی شده برای سیستم جداساز برای مخازن ذخیره مایع مورد استفاده در تحلیل‌های عددی با جدول (2) قابل محاسبه است.

سیستم جداساز مذکور به صورت مدل فنر‌های غیرخطی که مابین مخزن و زمین قرار گرفته‌اند، در مدل اجزای محدود در نظر گرفته شده است. این فنر غیرخطی چرخه استهلاک انرژی

جدول (2): پارامترهای مورد نیاز برای طراحی سیستم جداساز برای مخازن مورد بررسی در تحلیل‌های اجزای محدود

F_y (کیلو نیوتن)	K_p (کیلو نیوتن بر متر)	K_e (کیلو نیوتن بر متر)	Q (نیوتن)	W_{imp} (کیلو نیوتن)	T_{iso} (ثانیه)	مخزن
19534	145513	1953449	18079362	225992	2/5	مخزن 1
35204	262243	3520492	32582487	407281	2/5	مخزن 2
87	652	8766	81131	1014	2/5	مخزن 3



مخازن جداسازی شده و بدون جداساز معرفی شده در بخش قبل، شامل لنگر خمُشی، نیروی برشی و ارتفاع امواج سطحی مایع ارائه شده است.

5-4-1- نتایج عددی حاصل برای لنگر واژگونی و نیروی برشی پایه مخزن

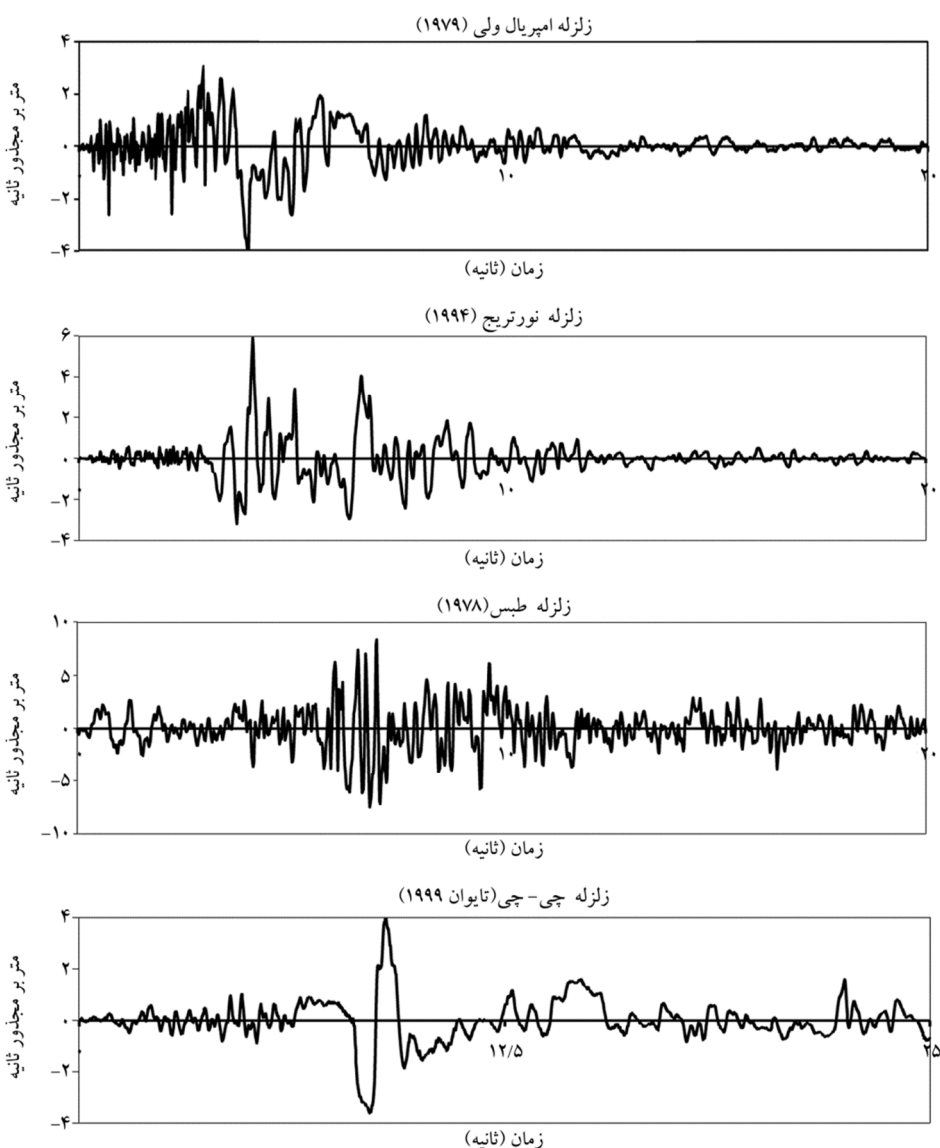
تاریخچه زمانی تغییرات لنگر واژگونی برای مخازن لاغر، متوسط و پهن به تفکیک برای سیستم‌های با و بدون سیستم جداساز لرزه‌ای به عنوان نمونه برای دو زلزله چی-چی و طبس در شکل‌های (7) تا (9) ارائه شده است. همچنین نتایج کمی بیشینه نیروی برشی و لنگر واژگونی برای همه نمونه‌ها در جداول (4) و (5) آورده شده است.

جدول (3): مشخصات زلزله‌های مورد استفاده در تحلیل‌های عددی وابسته به زمان

نام زلزله	سال وقوع	شتاب بیشینه زمین (g)	پریود غالب اختصاصی زلزله	علامت
السترو	1940	4/1	.5	EL
امپریال ولی	1979	2/9	0/23	IV
چی-چی	1999	3/03	1/14	CHI
طبس	1978	8/3	0/2	TAB
نورتریج	1994	5/9	0/54	NOR

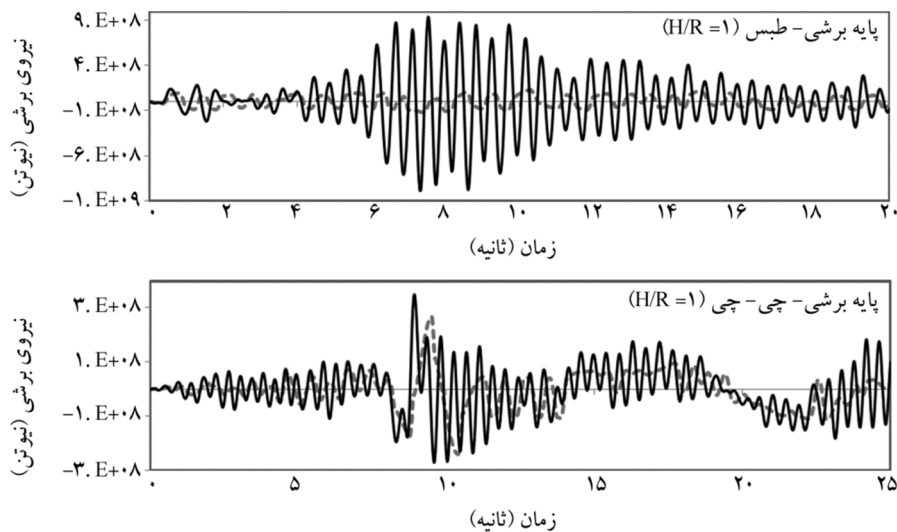
5-4-2- تحلیل نتایج حاصل از انجام تحلیل‌های عددی

در این بخش نتایج حاصل از تحلیل تاریخچه زمانی برای

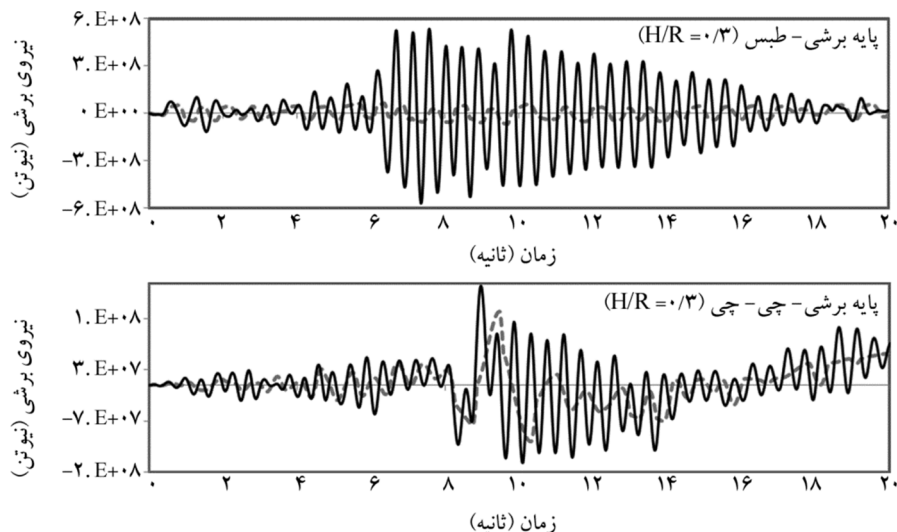


شکل (6): نمودار تاریخچه زمانی نگاشتهای شتاب مورد استفاده در تحلیل‌های عددی

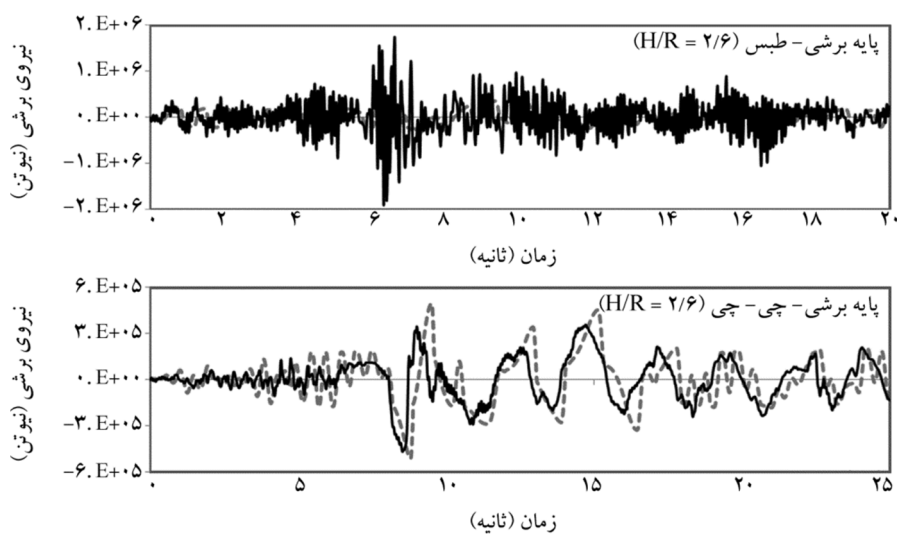




شکل (7): نمودار تاریخچه زمانی نیروی برشی مربوط به مخزن با ابعاد متوسط



شکل (8): نمودار تاریخچه زمانی نیروی برشی مربوط به مخزن پهن



شکل (9): نمودار تاریخچه زمانی نیروی برشی مربوط به مخزن لاغر



جدول (4): بیشینه نیروهای برشی محاسبه شده در مخازن (نتایج مدل عددی) بر حسب کیلو نیوتن

$$\text{Differences (\%)} = 100 \times (\text{Fixed-BS}) / \text{Fixed}$$

طبس	نورتربیج	امپریال ولی	الستترو	چی-چی	نوع مخزن	مخزن
69841	80272	58236	47616	143444	BS Fixed	مخزن 1 (R=53m)
570033	331382	179155	221551	193341		
88	76	67	79	26		
129854	153873	125548	88015	267464	BS Fixed	مخزن 2 (R=37m)
984647	684681	412825	415368	348148		
87	78	70	79	23		
353	307	350	223	511	BS Fixed	مخزن 3 (R = 6/2m)
1863	722	636	516	467		
81	57	45	57	9		

جدول (5): بیشینه لنگر خمثی محاسبه شده در مخازن (نتایج مدل عددی) بر حسب کیلو نیوتن بر متر

$$\text{Differences (\%)} = 100 \times (\text{Fixed-BS}) / \text{Fixed}$$

طبس	نورتربیج	امپریال ولی	الستترو	چی-چی	نوع مخزن	مخزن
498131	501234	353485	3044099	895820	BS Fixed	مخزن 1 (R=53m)
3875070	2217541	1186925	1496733	1286895		
87	77	70	80	30		
2029499	2308497	1805626	1363830	4162672	BS Fixed	مخزن 2 (R=37m)
17179562	11158885	7021780	6571204	5731904		
88	79	74	79	27		
1161	1102	1218	736	1686	BS Fixed	مخزن 3 (R = 6/2m)
5375	1774	1807	1439	1282		
78	38	33	49	32		

نصف مقدار بدون جداساز، در کاهش پارامترهای اصلی طراحی تأثیر داشته باشد. مشاهده می‌شود، درصد متوسط کاهش نیروی برشی برای مخازن مجهز به جداسازهای لرزه‌ای برای مخازن لاغر، متوسط و پهن به ترتیب برابر با ۷۰٪ و ۷۱٪ و درصدها برای مقدار لنگر خمثی نیز به ترتیب برای سه مخزن مورد بررسی برابر با ۵۰٪ و ۶۹٪ و ۷۱٪ است.

در مخازن پهن و متوسط، تقریباً آثار به کارگیری جداسازی لرزه‌ای یکسان است؛ اما در مورد مخزن لاغر، به کارگیری جداسازی لرزه‌ای نتوانسته است به مقدار بقیه مخازن در کاهش پارامترهای طراحی مؤثر باشد. دلیل این موضوع را می‌توان در نحوه‌ی تأثیر جرم‌های مختلف سیال جستجو نمود. به این معنی

لنگر خمثی ارائه شده در جداول مذکور، نسبت به خط مرکزی مخازن محاسبه شده است. در این جداول، نتایج مربوط به تحلیل مدل اجزای محدود مخازن مجهز به جداساز لرزه‌ای به اختصار با BS نشان داده شده است و نتایج حاصل برای مخازن مشابهه ولی بدون سیستم جداساز با علامت Fixed نشان داده است. ولی بدون سیستم جداساز با تفاوت نتایج حاصل از مخازن با و بدون سیستم جداساز نیز به صورت جداگانه محاسبه و ارائه شده است تا امکان مقایسه نتایج وجود داشته باشد.

بر اساس نمودارها و جداول ارائه شده، به کارگیری جداسازی لرزه‌ای می‌تواند به طور چشمگیری نیروهای مهم طراحی لرزه‌ای مخازن را کاهش دهد و حتی تا مقدار بیش از



طبيعي جرم مواج به مقدار قابل توجهی بيشتر از پريود جرم نوسانی است و استفاده از جداسازها معمولاً در بسياری از موارد به اندازه مورد انتظار در کاهش پاسخ ديناميکي مخازن مؤثر واقع می شوند؛ اما اين نكته را نيز باید توجه کرد که مؤثر بودن جداسازها به شدت به پارامترهای هندسى و شرایط بار اعمال شده، بستگی دارد.

5-4-2- نتایج تحلیل عددی برای بیشینه ارتفاع آزاد مایع
 حداقل ارتفاع آزاد مایع ایجاد شده در محل سطح آزاد، يکی از پارامترهای مؤثر در طراحی مخازن ذخیره مایع است. اگر ارتفاع آزاد مایع از مقدار مشخصی بيشتر شود، با سقف مخزن برخورد می کند و باعث اعمال خساراتی بر روی سقف مخزن می شود. برای اين منظور، باید ارتفاع بیشینه امواج سطحی را در حد معینی نگه داشت. در غير اين صورت، باید مقدار اضافی فشار احتمالي سیال بر اثر برخورد با سقف را در محاسبات لحاظ نمود.

در مورد نمونه های مورد بررسی در اين تحقیق، نتایج حاصل برای بیشینه ارتفاع آزاد مایع در جدول (6) آورده شده است. همچنین تغیيرات تاریخچه زمانی ارتفاع آزاد مایع در کناره دیواره مخازن مورد بررسی تحت زلزله چی - چی در شکل (10) نشان داده شده است. در اکثر نمونه های مورد بررسی، اختلاف ارتفاع آزاد مایع گزارش شده بين مقدار محاسبه شده برای مخازن با و بدون جداساز لرزه ای، کمتر از 10 درصد است. اين موضوع نشان می دهد که جداسازی لرزه ای به دليل آنکه ارتفاع آزاد امواج سطحی، ييش از هر عاملی، به حرکت جرم مواج سیال بستگی دارد، در کاهش ارتفاع آزاد مایع نقش چندانی ندارد. از آنجا که پريود جرم مواج به مقدار قابل توجهی با پريود طبیعی جداسازها فاصله دارد، در نتیجه، آثار جداسازی لرزه ای بر روی ارتفاع آزاد مایع و تغیيرات زمانی آن بسیار اندک است؛ حتی در برخی موارد، ارتفاع آزاد مایع افزایش جزئی نيز نشان می دهد که اين موضوع هم با توجه به پريود زياد ایجاد شده توسط جداساز، کاملاً قابل توجيه است. به عبارت دیگر، با به کار گيری جداسازها، پريود طبیعی سازه افزایش يافته است.

كه جرم نوسانی سیال، معمولاً تأثير عمدہ ای در پاسخ ديناميکي مخازن به عهده دارد؛ به طوری که در بسياری از موارد، پاسخ نهايی مخزن را می توان با تقریب مناسبی برابر با پاسخ جرم نوسانی فرض نمود؛ اما در مواقعی که جرم مواج سیال به وسیله بار وارد بر آن تشدید می شود، نقش اين جرم نيز در پاسخ نهايی مخزن قابل توجه می شود.

مخزن لاگر مورد بررسی در اين تحقیق نيز پريود طبیعی جرم انتقالی سیال برابر با 2/34 ثانیه دارد که به مقدار پريود طبیعی جداساز لرزه ای (2/54 ثانیه) بسيار نزديک است؛ بنابراین واضح است که در مورد مخزن لاگر جرم انتقالی در آستانه تشدید قرار گرفته و سهم آن در پاسخ نهايی مخزن به طرز چشمگيري افزایش يافته است. به عبارت دیگر، آثار جداسازی لرزه ای برای مخزن لاگر نتوانسته است همانند بقیه مخازن به کاهش نیروی برشی و لنگر خمши بيان گرد.

در مورد هر يك از مخازن به صورت جداگانه، کمترین تأثير جداسازها تحت اعمال زلزله چی - چی رخ داده است (شکل 7 تا 9). اين زلزله خاص از نوع زلزله های با پريود غالب زياد است که در حرکت های بزرگ زمين قابل مشاهده است. معمولاً سازه های با پريود طبیعی زياد در اين نوع زلزله ها مورد تحريك جدی تر قرار می گيرند. از آنجا که جرم انتقالی سیال نيز در مخازن ذخیره مایع، معمولاً پريود طبیعی بسيار زيادي دارد، سهم جرم مواج در پاسخ ديناميکي نهايی مخزن افزایش می يابد؛ بنابراین در تمام مخازن هنگام اعمال زلزله چی - چی، به دليل پرنگک تر شدن نقش جرم مواج، پاسخ نهايی مخزن مجهز با جداسازها نتوانسته است به طرز قابل انتظاری کاهش نشان دهد. در مورد مخزن لاگر تحت زلزله مذکور، استفاده از جداساز لرزه ای باعث بدتر شدن اوضاع شده است و مقدار لنگر خمши کلي حاصل از حل عددی، به جاي کاهش، افزایش يافته است. اين موضوع به خاطر نزديک بودن پريود غالب زلزله ای اعمالی و پريود غالب سистем جداساز لرزه ای به پريود طبیعی جرم انتقالی مخزن لاگر تر می باشد.

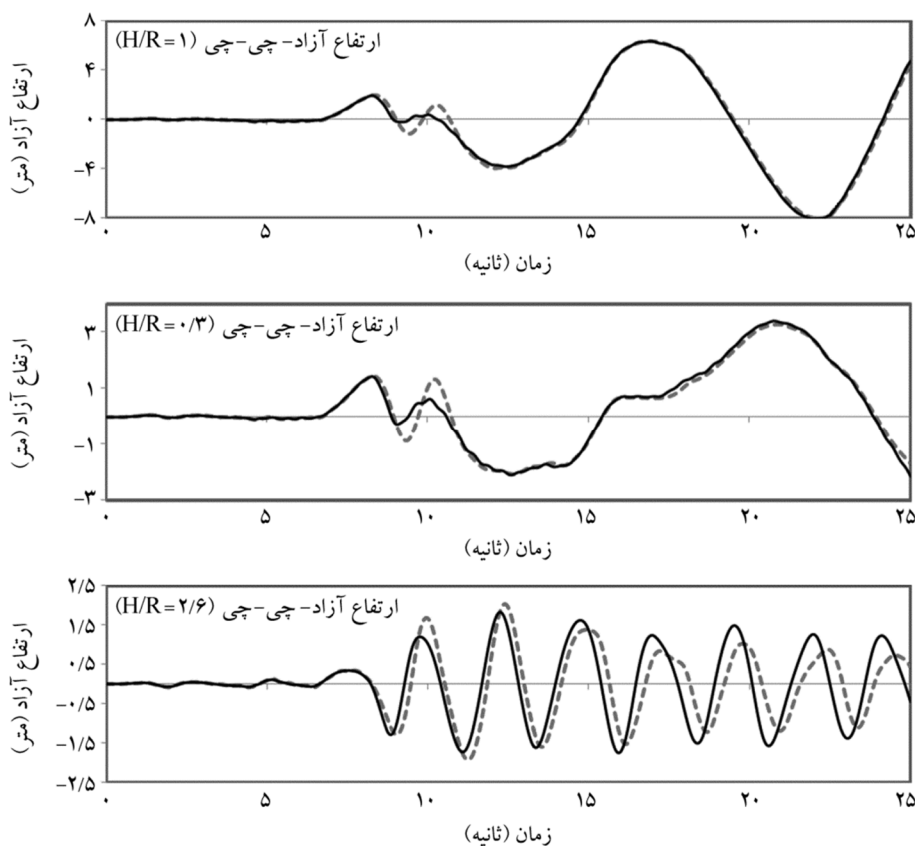
البته باید اشاره کرد که معمولاً در بسياری از مخازن، پريود



جدول (6): مقادیر بیشینه ارتفاع آزاد مایع بر حسب متر در مخازن با و بدون جداساز لرزه‌ای

$$\text{Differences (\%)} = 100 \times (\text{Fixed-BS}) / \text{Fixed}$$

طبق	نورتربیج	امپریال ولی	الستترو	چی-چی	نوع مخزن	مخزن	
3/14	1/03	2/11	0/57	8/02	BS Fixed	مخزن 37	
3/09	0/94	1/97	0/56	8/06			
1/65	10/52	6/97	2/26	0/51	Percent	مخزن 53	
1/76	0/78	1/51	0/350	3/27	BS Fixed		
1/76	0/71	1/45	0/35	3/39			
0/21	9/75	4/50	1/86	3/59	Percent	مخزن 28	
0/95	1/20	1/10	0/48	2/03	BS Fixed		
1/26	1/35	1/10	0/46	1/82			
24/55	11/07	0/01	3/75	11/33	Percent		



شکل (10): نمودار تاریخچه زمانی ارتفاع آزاد مایع در کنار جداره مخزن تحت زلزله چی-چی

6- نتیجه‌گیری

در این پژوهش برای بررسی رفتار دینامیکی مخازن مجهز به جداسازهای لرزه‌ای از شبیه‌سازی رایانه‌ای و برای مدل‌سازی عددی مخازن از روش اجزای محدود استفاده شد. مدل عددی برپا شده با راهبرد حل مورد استفاده، با نتایج آزمایشگاهی در

این موضوع اگرچه باعث می‌شود که پاسخ جرم نوسانی در محدوده قابل قبولی قرار گیرد، اما در مورد جرم موافق، در اکثر موارد این افزایش پریود طبیعی مخزن، به نزدیک شدن پریود جرم انتقالی و پریود سیستم جداساز مورد استفاده، کمک می‌کند و از این طریق باعث افزایش ارتفاع آزاد مایع می‌شود.



ارتفاع آزاد مایع ندارد. بر اساس تحلیل‌های انجام شده در این تحقیق، بیشینه ارتفاع آزاد مایع در بیشتر نمونه‌های مورد بررسی، اختلافی کمتر از 10 درصد را برای مخازن با و بدون جداساز لرزه‌ای نشان داد.

مواجع

- Chalhoub, M.S. and Kelly, J.M. (1988) *Theoretical and Experimental Studies of Cylindrical Water Tanks in Base Isolated Structures*, Report No. UCB/EERC-88/07, CA. Berkeley.
- Kim, N.S. and Lee, D.G. (1995) Pseudo-dynamic test for evaluation of earthquake performance of base-isolated liquid storage tanks. *Engineering Structures*, **17**(3), 198-208.
- Shrimali, M.K. and Jangid, R.S. (2004) Seismic analysis of base-isolated liquid storage tank. *Journal of Sound and Vibration*, **275**, 59-75.
- Jadhav, M.B. and Jangid, R.S. (2006) Response of base-isolated liquid storage tanks to near-fault motion. *Structural Engineering and Mechanics*, **23**, 615-634.

حالات اعمال بارهای هارمونیک و لرزه‌ای مورد راستی آزمایی قرار گرفت. پس از اطمینان از صحت عملکرد مدل، از آن برای انجام مطالعات پارامتری و ارزیابی تأثیر جداسازها در مخازن ذخیره مایعات استفاده شد. برای این کار سه مخزن با ابعاد پهن، متوسط و لاغر انتخاب و در حالت با و بدون جداساز لرزه‌ای تحلیل شد. برای در نظر گرفتن رفتار غیرخطی حاصل از عملکرد افقی جداسازها، از فنرهای با رفتار غیرخطی در مدل عددی استفاده شد.

نتایج حاصل از این تحلیل‌ها را می‌توان به صورت زیر خلاصه کرد:

۱. مقایسه مقادیر محاسبه شده در مدل عددی با نتایج حاصل از آزمایش‌ها، نشان داد که مدل عددی مذکور با دقت بسیار مناسبی می‌تواند رفتار دینامیکی مخزن را پیش‌بینی کند.

۲. مقایسه نتایج حاصل از مدل عددی بر روی مخازن با و بدون جداساز لرزه‌ای، نشان داد که به کارگیری سیستم جداسازی لرزه‌ای، می‌تواند به طور بسیار چشمگیری در کاهش آثار ناشی از اعمال بارهای لرزه‌ای مؤثر باشد؛ به طوری که برای مخازن مجهز به جداسازهای لرزه‌ای، نیروی برشی ایجاد شده توسعه بارهای دینامیکی به ترتیب مقادیر میانگین ۷۰٪ و ۵۰٪ برای مخازن پهن، متوسط و لاغر، نسبت به مخازن مشابه بدون سیستم جداساز، کاهش یافت.

۳. در رابطه با مقدار لنگر خمی کلی ایجاد شده بر اثر اعمال بارهای دینامیکی وارد بر مخزن، مقدار میانگین کاهش حاصل از به کارگیری جداسازها برابر با ۷۱٪ و ۴۷٪ به ترتیب برای مخازن پهن، متوسط و لاغر است.

۴. تأثیر جداسازهای لرزه‌ای به طور قابل توجهی به خصوصیات بار لرزه‌ای اعمال شده و ابعاد هندسی مخازن حساس است؛ به طوری که در هنگام اعمال بارهای لرزه‌ای، که شامل پالس‌های با پریود بزرگ جایه‌جایی زمین می‌باشند، عملکرد جداسازها در کاهش نیروهای طراحی چندان چشمگیر نیست.

۵. در رابطه با امواج سطحی ایجاد شده در بالای مخزن، به کارگیری جداسازها در بسیاری موارد تأثیر چندانی بر مقدار



ABSTRACT

Using Base Isolation Method to Mitigate the Seismic Response of Liquefied Natural Gas

Mohammad Ali Goudarzi¹, Parviz Rafati², and Soheil Rostam Kolaee³

1. Assistant Professor, International Institute of Earthquake Engineering and Seismology (IIEES), Tehran, Iran,
Corresponding Author, e-mail: m.a.goodarzi@iiees.ac.ir

2. Faculty Member, Imam Hossein Comprehensive University, Tehran, Iran

3. M.Sc. Graduate, International Institute of Earthquake Engineering and Seismology (IIEES), Tehran, Iran

During the last 20 years, part of the research work has focused on the seismic analysis of Liquefied Natural Gas (LNG) tanks, due mainly to (1) the increasing number of LNG tanks constructed in seismically active regions, resulting from the adoption of LNG as an environmentally friendly fossil fuel, and (2) the catastrophic environmental impact, associated with a potential local or total failure of such tanks, caused by the earthquake motion.

Seismic isolation is a well-known method to mitigate the earthquake effects on the structures by increasing their fundamental natural periods at the expense of larger displacements in the structural system. In this study, the seismic response of isolated and fixed base vertical, cylindrical, liquid storage tanks is investigated using a numerical model, taking into account the fluid-structure interaction effects. The numerical model is validated by the comparison of its results with the experimental measurements of small-scale tank under harmonic and seismic excitations. The comparison reveals that the use of the considered model provides enough accuracy for evaluating the seismic behavior of nonlinear isolated and non-isolated tanks.

Three vertical, cylindrical tanks with different ratios of height to radius ($H/R = 2.6, 1.0$ and 0.3) as the representatives of slender, medium and broad tanks) are analyzed and the results of response-history analysis, including base shear, overturning moment and free surface displacement are reported for isolated and non-isolated tanks. The isolated tanks are equipped with lead rubber bearings isolators, and the bearings are modeled by using a non-linear spring in numerical model. Long period ground motion is the main parameter that can significantly affect the seismic response of isolated tank.

It is observed that the seismic isolation of liquid storage tanks is quite effective and the response of isolated tanks is significantly influenced by the system parameters such as their fundamental frequencies and the aspect ratio of the tanks. The average reductions of base shear forces of isolated tanks are 71%, 70% and 50% for broad, medium and slender isolated tanks. It seems that the effectiveness of base isolation system to mitigate the base shear force is not significantly affected by changing of tank aspect ratio. In terms of overturning moment, the average reductions of the order of 71%, 69% and 47% for broad, medium and slender tanks is obtained due to applying of isolation system. Therefore, overturning moment is considerably mitigated by the reduction of the tank aspect ratio. The effectiveness of base isolation considerably reduces for exerted earthquake records including long period motion. Especially for slender tanks, base isolation may even increase the overturning moment.

However, the base isolation does not significantly affect the surface wave height, and even it can cause adverse effects on the free surface sloshing motion. The results of free surface displacement for both isolated and non-isolated tanks have quite similar trends for considered tanks. The errors between the maximum sloshing wave height of fixed base and isolated tank are less than 8% for most of the considered cases. Even, the sloshing height is slightly amplified in some cases. Therefore, the base isolation system can cause adverse effects on the free surface sloshing motion.



ABSTRACT

It can be concluded that the effectiveness of the base isolation method is very sensitive to the physical and geometrical parameters of the considered tanks. This suggests that a careful selection of isolators with a certain limit on the mechanical properties of the isolators is required for the optimal seismic isolation design of liquid storage tanks.

Keywords: LNG; Storage Tanks; Numerical Model; Base Isolation